

# Standard Rectifier Module

|                         |       |
|-------------------------|-------|
| <b>3~<br/>Rectifier</b> |       |
| $V_{RRM} =$             | 800 V |
| $I_{DAV} =$             | 90 A  |
| $I_{FSM} =$             | 550 A |

## 3~ Rectifier Bridge

Part number

**VUO86-08NO7**



 E72873



### Features / Advantages:

- Package with DCB ceramic
- Improved temperature and power cycling
- Planar passivated chips
- Very low forward voltage drop
- Very low leakage current

### Applications:

- Diode for main rectification
- For three phase bridge configurations
- Supplies for DC power equipment
- Input rectifiers for PWM inverter
- Battery DC power supplies
- Field supply for DC motors

### Package: ECO-PAC1

- Isolation Voltage: 3000 V~
- Industry standard outline
- RoHS compliant
- Soldering pins for PCB mounting
- Height: 9 mm
- Base plate: DCB ceramic
- Reduced weight
- Advanced power cycling

### Disclaimer Notice

Information furnished is believed to be accurate and reliable. However, users should independently evaluate the suitability of and test each product selected for their own applications. Littelfuse products are not designed for, and may not be used in, all applications. Read complete Disclaimer Notice at [www.littelfuse.com/disclaimer-electronics](http://www.littelfuse.com/disclaimer-electronics).

| Rectifier  |  |   |                              | Ratings                  |      |      |                   |
|------------|--|---|------------------------------|--------------------------|------|------|-------------------|
| Symbol     | Definition                                   | Conditions  |                              | min.                     | typ. | max. | Unit              |
| $V_{RSM}$  | max. non-repetitive reverse blocking voltage |   |                              |                          |      | 900  | V                 |
| $V_{RRM}$  | max. repetitive reverse blocking voltage     |   |                              |                          |      | 800  | V                 |
| $I_R$      | reverse current                              | $V_R = 800\text{ V}$                              | $T_{VJ} = 25^\circ\text{C}$  |                          |      | 40   | $\mu\text{A}$     |
|            |  | $V_R = 800\text{ V}$                              | $T_{VJ} = 150^\circ\text{C}$ |                          |      | 1.5  | mA                |
| $V_F$      | forward voltage drop                         | $I_F = 30\text{ A}$                               | $T_{VJ} = 25^\circ\text{C}$  |                          |      | 1.14 | V                 |
|            |  | $I_F = 90\text{ A}$                               |                              |                          |      | 1.48 | V                 |
|            |  | $I_F = 30\text{ A}$                               | $T_{VJ} = 125^\circ\text{C}$ |                          |      | 1.06 | V                 |
|            |  | $I_F = 90\text{ A}$                               |                              |                          |      | 1.51 | V                 |
| $I_{DAV}$  | bridge output current                        | $T_C = 105^\circ\text{C}$<br>rectangular          | $T_{VJ} = 150^\circ\text{C}$ |                          |      | 90   | A                 |
| $V_{FO}$   | threshold voltage                            | } for power loss calculation only                 |                              |                          |      | 0.81 | V                 |
| $r_F$      | slope resistance                             |   |                              |                          |      | 7.8  | m $\Omega$        |
| $R_{thJC}$ | thermal resistance junction to case          |   |                              |                          |      | 0.9  | K/W               |
| $R_{thCH}$ | thermal resistance case to heatsink          |   |                              |                          | 0.4  |      | K/W               |
| $P_{tot}$  | total power dissipation                      |   |                              | $T_C = 25^\circ\text{C}$ |      | 135  | W                 |
| $I_{FSM}$  | max. forward surge current                   | $t = 10\text{ ms}; (50\text{ Hz}), \text{ sine}$  | $T_{VJ} = 45^\circ\text{C}$  |                          |      | 550  | A                 |
|            |  | $t = 8,3\text{ ms}; (60\text{ Hz}), \text{ sine}$ | $V_R = 0\text{ V}$           |                          |      | 595  | A                 |
|            |  | $t = 10\text{ ms}; (50\text{ Hz}), \text{ sine}$  | $T_{VJ} = 150^\circ\text{C}$ |                          |      | 470  | A                 |
|            |  | $t = 8,3\text{ ms}; (60\text{ Hz}), \text{ sine}$ | $V_R = 0\text{ V}$           |                          |      | 505  | A                 |
| $I^2t$     | value for fusing                             | $t = 10\text{ ms}; (50\text{ Hz}), \text{ sine}$  | $T_{VJ} = 45^\circ\text{C}$  |                          |      | 1.52 | kA <sup>2</sup> s |
|            |  | $t = 8,3\text{ ms}; (60\text{ Hz}), \text{ sine}$ | $V_R = 0\text{ V}$           |                          |      | 1.48 | kA <sup>2</sup> s |
|            |  | $t = 10\text{ ms}; (50\text{ Hz}), \text{ sine}$  | $T_{VJ} = 150^\circ\text{C}$ |                          |      | 1.11 | kA <sup>2</sup> s |
|            |  | $t = 8,3\text{ ms}; (60\text{ Hz}), \text{ sine}$ | $V_R = 0\text{ V}$           |                          |      | 1.06 | kA <sup>2</sup> s |
| $C_J$      | junction capacitance                         | $V_R = 400\text{ V}; f = 1\text{ MHz}$            | $T_{VJ} = 25^\circ\text{C}$  |                          | 18   |      | pF                |



| Package ECO-PAC1 |  | Ratings              |      |      |      |      |
|------------------|--|----------------------|------|------|------|------|
| Symbol           | Definition   | Conditions           | min. | typ. | max. | Unit |
| $I_{RMS}$        | RMS current  | per terminal         |      |      | 100  | A    |
| $T_{VJ}$         | virtual junction temperature                                 |                      | -40  |      | 150  | °C   |
| $T_{op}$         | operation temperature  |                      | -40  |      | 125  | °C   |
| $T_{stg}$        | storage temperature  |                      | -40  |      | 125  | °C   |
| <b>Weight</b>    |  |                      |      | 19   |      | g    |
| $M_D$            | mounting torque  |                      | 1.4  |      | 2    | Nm   |
| $d_{Spp/App}$    | creepage distance on surface   striking distance through air | terminal to terminal | 6.0  |      |      | mm   |
| $d_{Spb/Apb}$    |  | terminal to backside | 10.0 |      |      | mm   |
| $V_{ISOL}$       | isolation voltage  | t = 1 second         | 3000 |      |      | V    |
|                  |  | t = 1 minute         | 2500 |      |      | V    |



| Ordering | Ordering Number | Marking on Product | Delivery Mode | Quantity | Code No. |
|----------|-----------------|--------------------|---------------|----------|----------|
| Standard | VUO86-08NO7     | VUO86-08NO7        | Box           | 25       | 482854   |

**Equivalent Circuits for Simulation**

\* on die level

$T_{VJ} = 150^{\circ}C$

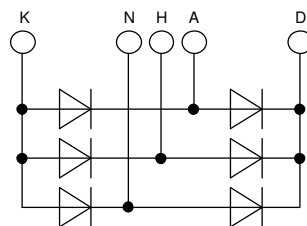
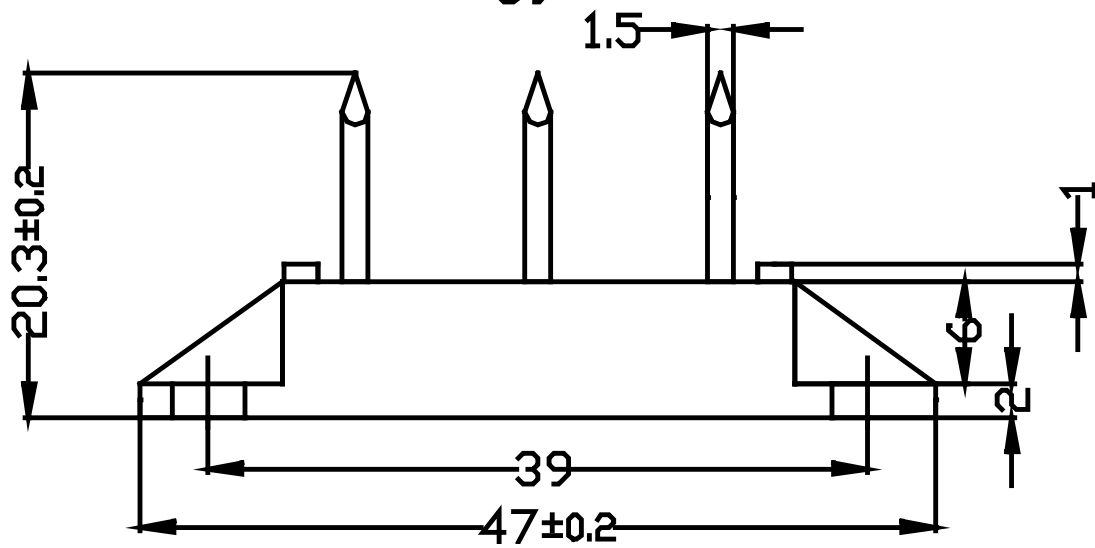
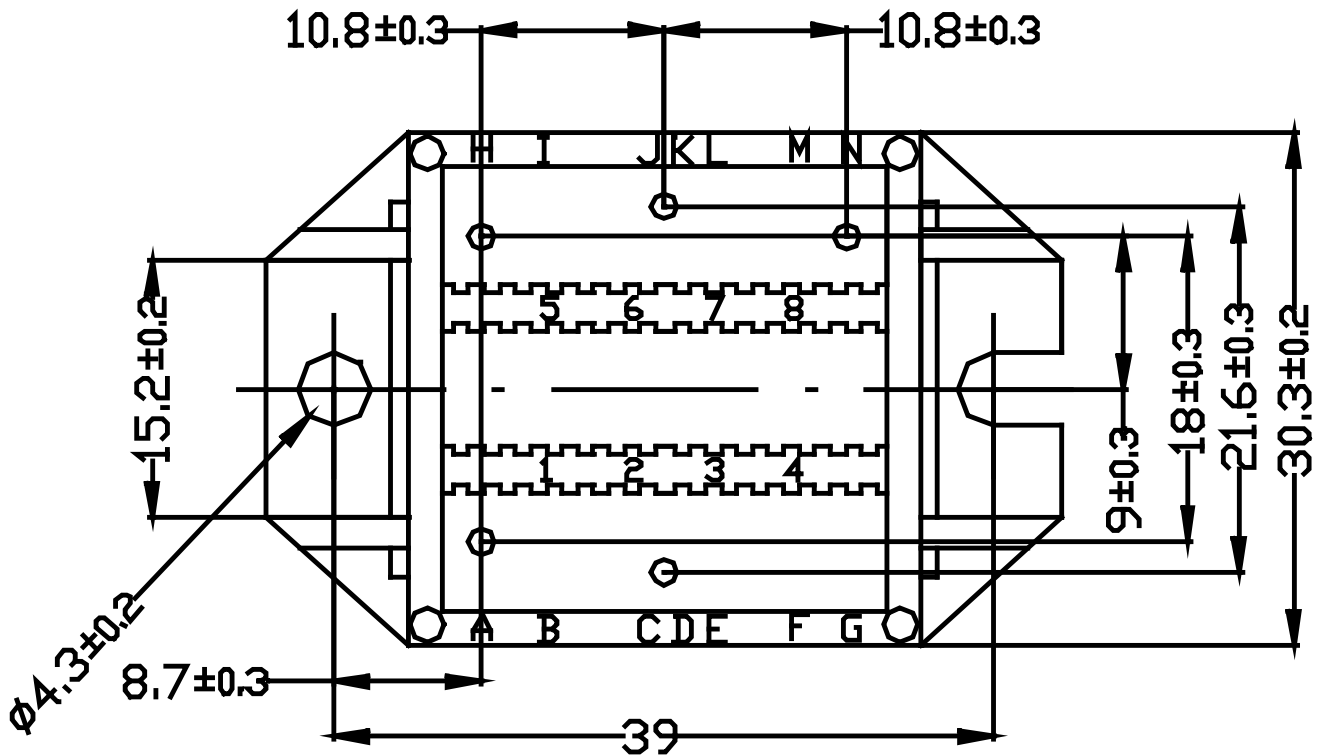


**Rectifier**

|              |                    |      |    |
|--------------|--------------------|------|----|
| $V_{0\ max}$ | threshold voltage  | 0.81 | V  |
| $R_{0\ max}$ | slope resistance * | 6.6  | mΩ |



Outlines ECO-PAC1





**Rectifier**

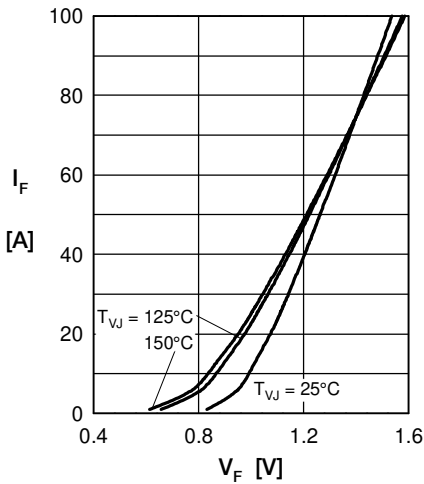


Fig. 1 Forward current versus voltage drop per diode

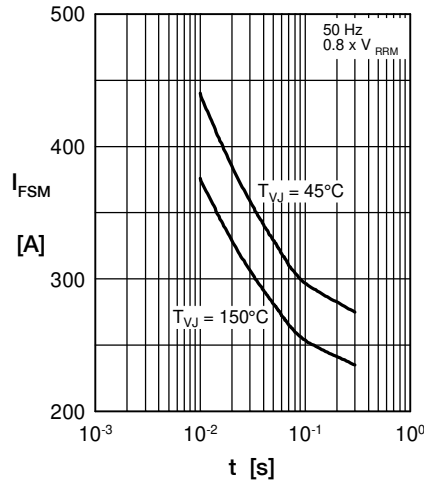


Fig. 2 Surge overload current

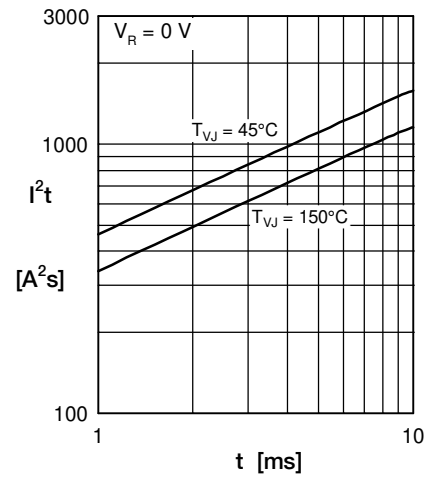


Fig. 3  $I^2t$  versus time per diode

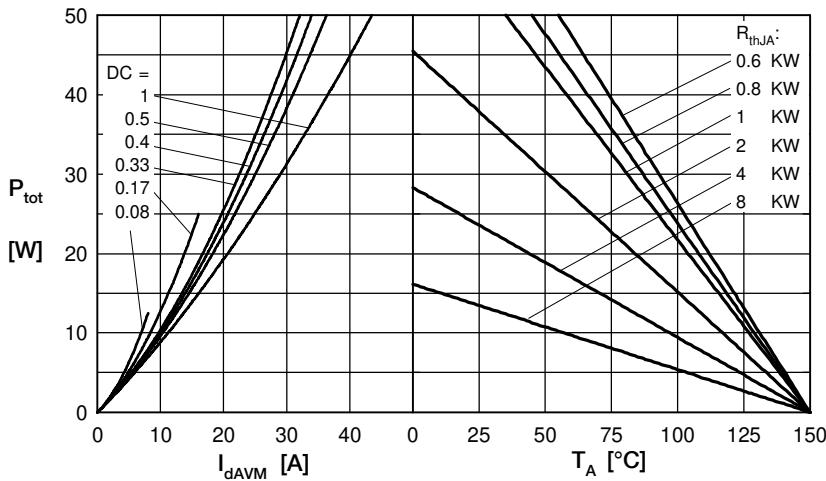


Fig. 4 Power dissipation vs. direct output current & ambient temperature

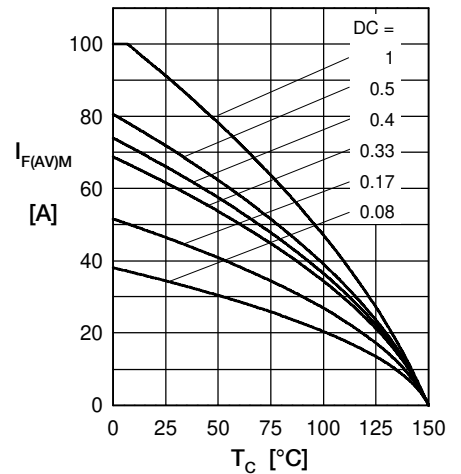


Fig. 5 Max. forward current vs. case temperature

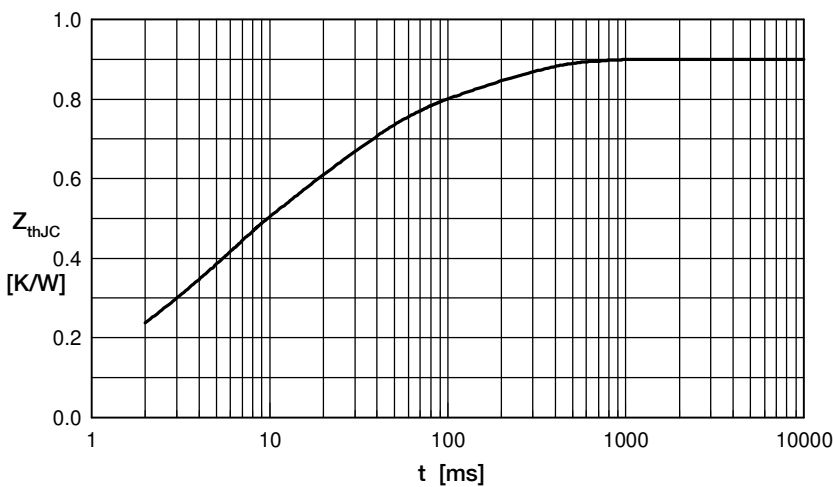


Fig. 6 Transient thermal impedance junction to case

Constants for  $Z_{thJC}$  calculation:

| i | $R_{th}$ (K/W) | $t_i$ (s) |
|---|----------------|-----------|
| 1 | 0.0607         | 0.000     |
| 2 | 0.1230         | 0.00256   |
| 3 | 0.2330         | 0.0045    |
| 4 | 0.3230         | 0.0242    |
| 5 | 0.1628         | 0.18      |

## Данный компонент на территории Российской Федерации

### Вы можете приобрести в компании MosChip.

Для оперативного оформления запроса Вам необходимо перейти по данной ссылке:

<http://moschip.ru/get-element>

Вы можете разместить у нас заказ для любого Вашего проекта, будь то серийное производство или разработка единичного прибора.

В нашем ассортименте представлены ведущие мировые производители активных и пассивных электронных компонентов.

Нашей специализацией является поставка электронной компонентной базы двойного назначения, продукции таких производителей как XILINX, Intel (ex.ALTERA), Vicor, Microchip, Texas Instruments, Analog Devices, Mini-Circuits, Amphenol, Glenair.

Сотрудничество с глобальными дистрибьюторами электронных компонентов, предоставляет возможность заказывать и получать с международных складов практически любой перечень компонентов в оптимальные для Вас сроки.

На всех этапах разработки и производства наши партнеры могут получить квалифицированную поддержку опытных инженеров.

Система менеджмента качества компании отвечает требованиям в соответствии с ГОСТ Р ИСО 9001, ГОСТ РВ 0015-002 и ЭС РД 009

### Офис по работе с юридическими лицами:

105318, г.Москва, ул.Щербаковская д.3, офис 1107, 1118, ДЦ «Щербаковский»

Телефон: +7 495 668-12-70 (многоканальный)

Факс: +7 495 668-12-70 (доб.304)

E-mail: [info@moschip.ru](mailto:info@moschip.ru)

Skype отдела продаж:

moschip.ru

moschip.ru\_4

moschip.ru\_6

moschip.ru\_9